

STUDI KARAKTERISTIK ALIRAN PADA FLUME SALURAN TERBUKA DI LABORATORIUM TEKNIK SIPIL UIKA

Gita Yunianti Dwi Astuti, Feril Hariati

Jurusan Teknik Sipil, Universitas Ibn Khaldun Bogor

gita4firdaus@yahoo.com

ABSTRAK

Karakteristik aliran dalam saluran terbuka secara umum dibedakan menjadi aliran sub kritis, kritis dan super kritis, berdasarkan parameter bilangan Froude yang dipengaruhi oleh kecepatan dan kedalaman aliran pada saluran terbuka. Model saluran terbuka di Laboratorium Teknik Sipil UIKA Bogor dilengkapi dengan fasilitas pengatur kemiringan untuk memodelkan karakteristik aliran berdasarkan kecepatan dan kedalamannya. Melalui serangkaian pengujian dengan mensimulasikan kemiringan saluran diperoleh karakteristik aliran air dalam model saluran terbuka. Hasil dari pengujian ini akan diterapkan dalam pelaksanaan kegiatan praktikum hidrolik di Laboratorium Hidrolik Jurusan Teknik Sipil Fakultas Teknik Universitas Ibn Khaldun Bogor.

Kata kunci: karakteristik, aliran, bilangan Froude, Kemiringan

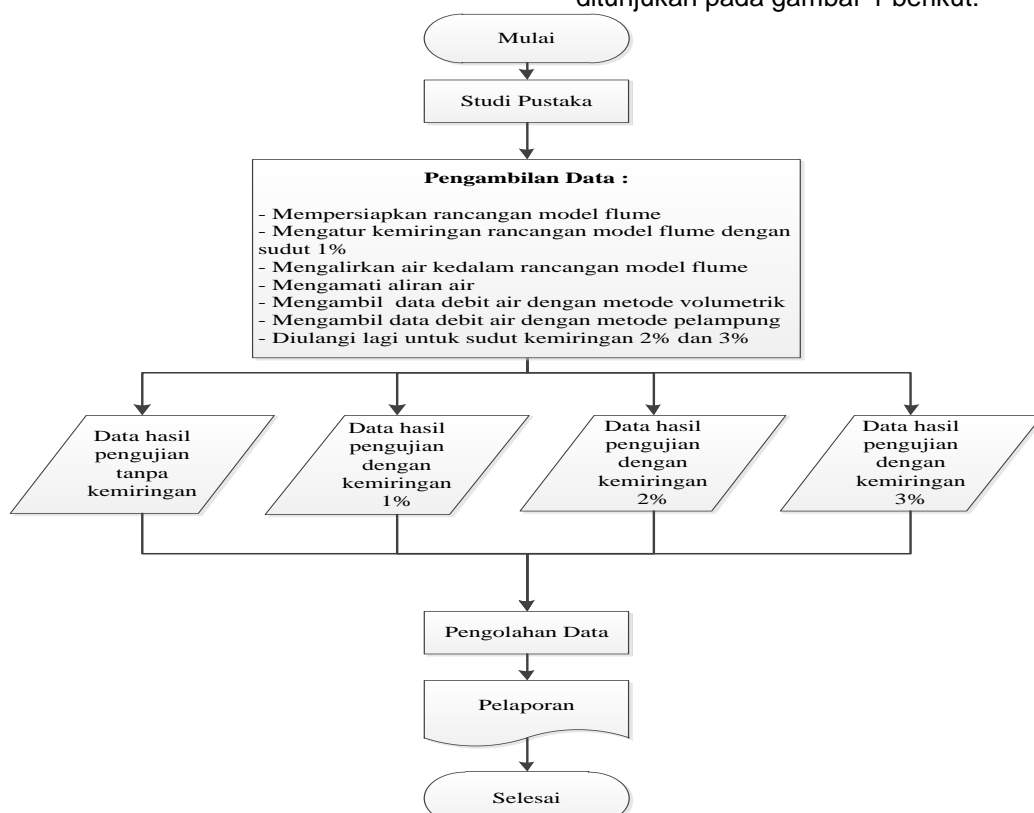
1 PENDAHULUAN

Belum diketahui karakteristik aliran dalam rancangan model flume dengan kemiringan tertentu sehingga perlu dilakukan simulasi untuk mengetahui karakteristik aliran, dengan berbagai nilai kemiringan. Serangkaian pengamatan debit, tinggi muka air, kecepatan aliran pada saluran dengan berbagai tingkat kemiringan tertentu dilakukan dan hasil yang diperoleh akan dijadikan sebagai acuan mahasiswa saat melaksanakan praktikum hidrolik sebagai penunjang mata kuliah hidrolik di lingkungan Program Studi Teknik Sipil, UIKA Bogor

2. METODOLOGI

Metode yang digunakan dalam penelitian ini adalah metode eksperimen (mengujicobakan) yaitu penelitian untuk menguji apakah variabel-variabel eksperimen efektif atau tidak (suryana, 2010). Penelitian yang dilakukan adalah pengamatan kecepatan dan kedalaman aliran dalam berbagai kemiringan saluran.

Dalam pelaksanaan penelitian, secara garis besar dilakukan dalam 3 metode tahapan yaitu: metode studi pustaka, metode studi lapangan dan metode pengolahan data. Diagram alir metode penelitian seperti ditunjukkan pada gambar 1 berikut:



Gambar 1. Diagram alir metode penelitian

3

DASAR TEORI

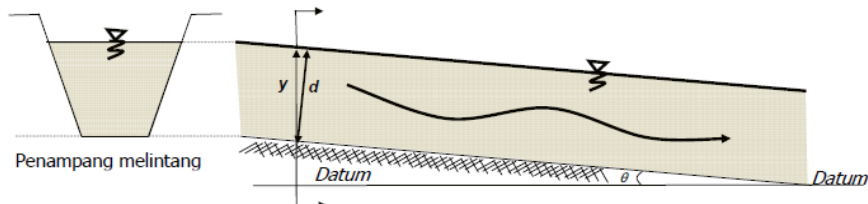
3.1 Aliran Saluran Terbuka

Aliran saluran terbuka adalah aliran yang mempunyai permukaan bebas dan bersentuhan dengan atmosfer

3.2 Elemen Geometri Saluran

Yang dimaksud dengan penampang saluran (channel cross section) adalah

penampang yang diambil tegak lurus arah aliran, sedang penampang yang diambil vertical disebut penampang vertikal (vertical section). Saluran buatan biasanya direncanakan dengan penampang beraturan menurut bentuk geometri yang biasa digunakan. Elemen geometri penampang memanjang saluran terbuka dapat dilihat pada gambar 2 berikut ini:



Gambar 2. penampang memanjang dan penampang melintang aliran saluran terbuka

Kedalaman aliran adalah kedalaman dari penampang aliran dengan notasi d , sedang kedalaman y adalah kedalaman vertikal (lihat

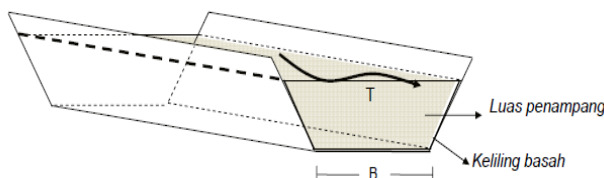
gambar 3), dalam hal sudut kemiringan dasar saluran sama dengan θ maka rumus seperti pada persamaan 1 berikut:

$$d = y \cos \theta \text{ atau } y = \frac{d}{\cos \theta} \quad (1)$$

Lebar permukaan (top width) adalah lebar penampang saluran pada permukaan bebas (lihat gambar 3). Notasi atau simbol yang digunakan untuk lebar permukaan adalah T , dan satuannya adalah satuan panjang.

Luas penampang adalah mengacu pada luas penampang melintang daripada dalam saluran. Notasi atau simbol yang digunakan untuk luas penampang ini adalah A , dan satunya adalah satuan luas.

Keliling basah suatu penampang aliran didefinisikan sebagai bagian/porsi dari parameter penampang aliran yang bersentuhan (kontak) dengan batas benda padat yaitu dasar dan/atau dinding saluran. Dalam saluran terbuka batas tersebut adalah dasar dan dinding/tebing saluran seperti yang tampak pada gambar 3 di bawah ini. Notasi atau simbol yang digunakan untuk keliling basah ini adalah P , dan satunya adalah satuan panjang.



Gambar 3. Parameter Lebar Permukaan (T) Lebar Dasar (B)

Luas Penampang dan Keliling Basa suatu aliran

Kedalaman hidrolik dari suatu penampang aliran adalah luas penampang dibagi lebar

$$D = \frac{A}{T}$$

3.3 Debit Aliran

tu, simbol/notasi yang digunakan adalah Q . Rumus debit aliran seperti pada persamaan 3 berikut:

$$Q = \frac{v}{t} \quad (3)$$

Dimana:

Q = Debit aliran (cm^3/s)

V = Volume aliran (cm^3)

permukaan, mempunyai satuan panjang. Notasi yang digunakan adalah D . Rumus kedalaman hidrolik seperti pada persamaan 2 berikut:

Debit aliran adalah volume air yang mengalir melalui suatu penampang tiap satuan wak

t = waktu (s)

Kecepatan aliran (V) dari suatu penampang aliran tidak sama diseluruh penampang aliran, tetapi bervariasi menurut tempatnya. Apabila cairan bersentuhan dengan batasnya (didasar dan dinding saluran) kecepatan alirannya adalah nol. Hal ini seringkali membuat kompleksnya analisis, oleh karena itu untuk keperluan praktis biasanya

$$V = \frac{Q}{A} \quad (4)$$

Dimana:

V = Kecepatan rata – rata aliran (cm/s)

Q = Debit aliran (cm^3/s)

A = Luas penampang aliran (m^2)

3

.4 Type aliran (aliran kritis, sub-kritis, super kritis dan angka Froude)

Efek dari gaya gravitasi pada suatu aliran ditunjukkan dalam perbandingan atau rasio

$$Fr = \frac{V}{\sqrt{g \cdot L}} \quad (5)$$

Dimana:

Fr = angka Froude (tidak berdimensi/tidak mempunyai satuan)

V = kecepatan rata-rata aliran (cm/s)

L = panjang karakteristik (cm)

$$Fr = \frac{V}{\sqrt{g \cdot d}} \quad (6)$$

Dimana:

Fr = angka Froude (tidak berdimensi/tidak mempunyai satuan)

V = kecepatan rata-rata aliran (cm/s)

d = kedalaman aliran (cm)

Apabila angka F sama dengan satu maka Persamaan 7 menjadi:

$$V \sqrt{gD} = \sqrt{gD} \quad (7)$$

Dimana c adalah kecepatan rambat gelombang (celerity), dari gelombang gravitasi

$$c = \sqrt{gD}$$

Dalam hal ini aliran disebut dalam kondisi kritis, aliran disebut aliran kritis (critical flow). Apabila harga angka Fr lebih kecil daripada satu atau $V < \sqrt{gD}$ aliran disebut aliran sub-kritis (subcritical flow). Dalam kondisi ini gaya gravitasi memegang peran lebih besar; dalam hal ini kecepatan aliran lebih kecil daripada kecepatan rambat gelombang dan hal ini ditunjukkan dengan alirannya yang tenang.

Sebaliknya apabila harga Fr lebih besar daripada satu atau $V > \sqrt{gD}$ aliran disebut Aliran super-kritis (supercritical flow). Dalam hal ini gaya-gaya inersia menjadi dominan, jadi

digunakan harga rata-rata dari kecepatan di suatu penampang aliran. Kecepatan rata-rata ini didefinisikan sebagai debit aliran dibagi luas penampang aliran, dan oleh karena itu satunya adalah panjang per satuan waktu. Rumus kecepatan aliran seperti pada persamaan 4 berikut:

antara gaya inersia dan gaya gravitasi. Rasio antara gaya-gaya tersebut dinyatakan dalam angka Froude, yaitu seperti pada persamaan 5 berikut:

Dalam aliran saluran terbuka panjang karakteristik disamakan dengan kedalaman hydraulik D . Dengan demikian untuk aliran saluran terbuka angka Froude adalah seperti pada persamaan 6 berikut:

yang terjadi dalam aliran dangkal. Seperti pada persamaan 8 berikut:

$$(8)$$

aliran mempunyai kecepatan besar; kecepatan aliran lebih besar daripada kecepatan rambat gelombang yang ditandai dengan alirannya yang deras. (<http://web.ipb.ac.id/~erizal/mekflud/aliran%20sal%20terbuka.pdf>).

3.5 Standar Deviasi

Yang dimaksud dengan deviasi adalah selisih atau simpangan dari masing-masing skor atau interval dari nilai rata-rata hitungnya. Jadi deviasi berarti selisih dari masing-masing skor atau kelas interval dari Meannya.

Yang dimaksud dengan Mean Deviasi adalah jumlah harga mutlak deviasi dari tiap-tiap skor dibagi dengan banyaknya skor itu sendiri.

Dalam analisis statistik Standar Deviasi ini mempunyai kedudukan yang sangat penting, karena hasil perhitungan Standar Deviasi lebih teliti dari perhitungan Mean Deviasi dimana dalam perhitungan Mean

Deviasi semua deviasi dihitung secara mutlak dengan mengabaikan tanda plus dan minus. Sedang dalam perhitungan Standar Deviasi semua deviasi baik yang bertanda plus maupun yang bertanda minus terlebih dahulu dikuadratkan.

Rumus Standar Deviasi untuk data tunggal yang seluruh angkanya berfrekuensi satu seperti pada persamaan 9:

$$SD = \sqrt{\frac{\sum x^2}{N - 1}}$$

(9)

Dengan: SD = Standar Deviasi
 $\sum x^2$ = Jumlah semua deviasi yang sudah dikuadratkan
 N = Jumlah frekuensi (*Murdan, 2003*)

4. HASIL DAN PEMBAHASAN

4.1 Hasil Pengujian Pengukuran Debit dengan Menggunakan Metode Volumetrik

Berdasarkan hasil pengujian dengan metode volumetrik, diperoleh data waktu

penampungan t (s), data volume air tertampung V (m³), tinggi muka air d (m) diperoleh hasil perhitungan kecepatan aliran sebagai berikut:

Tabel 1. Data kecepatan aliran dengan metode volumetrik

No.	Data dengan Metode Volumetrik Kemiringan 0%						
	Kedalaman Aliran d (m)	Lebar Penampang B (m)	Luas Penampang A (m ²)	Waktu Penampungan t (s)	Volume Penampungan V (m ³)	Debit Q_v (m ³ /s)	Kecepatan Aliran v (m/s)
			= $B \times d$			= V/t	= Qv/A
1	0,015	0,18	0,0027	2,53	0,004	0,00158	0,58557
2	0,015	0,18	0,0027	2,60	0,004	0,00154	0,56980
3	0,015	0,18	0,0027	2,53	0,004	0,00158	0,58557
4	0,015	0,18	0,0027	2,60	0,004	0,00154	0,56980
5	0,015	0,18	0,0027	2,53	0,004	0,00158	0,58557
6	0,015	0,18	0,0027	2,53	0,004	0,00158	0,58557
7	0,015	0,18	0,0027	2,60	0,004	0,00154	0,56980
8	0,015	0,18	0,0027	2,60	0,004	0,00154	0,56980
9	0,015	0,18	0,0027	2,59	0,004	0,00154	0,57200
10	0,015	0,18	0,0027	2,56	0,004	0,00156	0,57870
11	0,015	0,18	0,0027	2,53	0,004	0,00158	0,58557
12	0,015	0,18	0,0027	2,60	0,004	0,00154	0,56980
13	0,015	0,18	0,0027	2,59	0,004	0,00154	0,57200
14	0,015	0,18	0,0027	2,60	0,004	0,00154	0,56980
15	0,015	0,18	0,0027	2,53	0,004	0,00158	0,58557
16	0,015	0,18	0,0027	2,53	0,004	0,00158	0,58557
17	0,015	0,18	0,0027	2,53	0,004	0,00158	0,58557
18	0,015	0,18	0,0027	2,60	0,004	0,00154	0,56980
19	0,015	0,18	0,0027	2,60	0,004	0,00154	0,56980
20	0,015	0,18	0,0027	2,56	0,004	0,00156	0,57870
			Standar deviasi				0,00746

No.	Data dengan Metode Volumetrik Kemiringan 1%						
	Kedalaman Aliran d (m)	Lebar Penampang B (m)	Luas Penampang A (m ²)	Waktu Penampungan t (s)	Volume Penampungan V (m ³)	Debit Q _v (m ³ /s)	Kecepatan Aliran v (m/s)
1	0,012	0,18	0,00216	2,60	0,004	0,00154	0,71225
2	0,012	0,18	0,00216	2,60	0,004	0,00154	0,71225
3	0,012	0,18	0,00216	2,69	0,004	0,00149	0,68842
4	0,012	0,18	0,00216	2,69	0,004	0,00149	0,68842
5	0,012	0,18	0,00216	2,64	0,004	0,00152	0,70146
6	0,012	0,18	0,00216	2,56	0,004	0,00156	0,72338
7	0,012	0,18	0,00216	2,63	0,004	0,00152	0,70413
8	0,012	0,18	0,00216	2,62	0,004	0,00153	0,70681
9	0,012	0,18	0,00216	2,56	0,004	0,00156	0,72338
10	0,012	0,18	0,00216	2,58	0,004	0,00155	0,71777
11	0,012	0,18	0,00216	2,60	0,004	0,00154	0,71225
12	0,012	0,18	0,00216	2,56	0,004	0,00156	0,72338
13	0,012	0,18	0,00216	2,58	0,004	0,00155	0,71777
14	0,012	0,18	0,00216	2,69	0,004	0,00149	0,68842
15	0,012	0,18	0,00216	2,63	0,004	0,00152	0,70413
16	0,012	0,18	0,00216	2,60	0,004	0,00154	0,71225
17	0,012	0,18	0,00216	2,64	0,004	0,00152	0,70146
18	0,012	0,18	0,00216	2,56	0,004	0,00156	0,72338
19	0,012	0,18	0,00216	2,69	0,004	0,00149	0,68842
20	0,012	0,18	0,00216	2,62	0,004	0,00153	0,70681
	Standar deviasi						0,01227
No.	Data dengan Metode Volumetrik Kemiringan 2%						
	Kedalaman Aliran d (m)	Lebar Penampang B (m)	Luas Penampang A (m ²)	Waktu Penampungan t (s)	Volume Penampungan V (m ³)	Debit Q _v (m ³ /s)	Kecepatan Aliran v (m/s)
1	0,011	0,18	0,00198	2,60	0,004	0,00154	0,77700
2	0,011	0,18	0,00198	2,53	0,004	0,00158	0,79850
3	0,011	0,18	0,00198	2,65	0,004	0,00151	0,76234
4	0,011	0,18	0,00198	2,69	0,004	0,00149	0,75100
5	0,011	0,18	0,00198	2,64	0,004	0,00152	0,76523
6	0,011	0,18	0,00198	2,68	0,004	0,00149	0,75381
7	0,011	0,18	0,00198	2,62	0,004	0,00153	0,77107
8	0,011	0,18	0,00198	2,65	0,004	0,00151	0,76234
9	0,011	0,18	0,00198	2,62	0,004	0,00153	0,77107
10	0,011	0,18	0,00198	2,60	0,004	0,00154	0,77700
11	0,011	0,18	0,00198	2,60	0,004	0,00154	0,77700
12	0,011	0,18	0,00198	2,65	0,004	0,00151	0,76234
13	0,011	0,18	0,00198	2,69	0,004	0,00149	0,75100
14	0,011	0,18	0,00198	2,64	0,004	0,00152	0,76523
15	0,011	0,18	0,00198	2,68	0,004	0,00149	0,75381
16	0,011	0,18	0,00198	2,62	0,004	0,00153	0,77107
17	0,011	0,18	0,00198	2,65	0,004	0,00151	0,76234
18	0,011	0,18	0,00198	2,60	0,004	0,00154	0,77700
19	0,011	0,18	0,00198	2,53	0,004	0,00158	0,79850
20	0,011	0,18	0,00198	2,62	0,004	0,00153	0,77107
	Standar deviasi						0,01324

No.	Data dengan Metode Volumetrik Kemiringan 3%						
	Kedalaman Aliran d (m)	Lebar Penampang B (m)	Luas Penampang A (m^2)	Waktu Penampungan t (s)	Volume Penampungan V (m^3)	Debit $Q_v(m^3/s)$	Kecepatan Aliran v (m/s)
1	0,010	0,18	0,0018	2,61	0,004	0,00153	0,85143
2	0,010	0,18	0,0018	2,64	0,004	0,00152	0,84175
3	0,010	0,18	0,0018	2,68	0,004	0,00149	0,82919
4	0,010	0,18	0,0018	2,67	0,004	0,00150	0,83229
5	0,010	0,18	0,0018	2,60	0,004	0,00154	0,85470
6	0,010	0,18	0,0018	2,53	0,004	0,00158	0,87835
7	0,010	0,18	0,0018	2,60	0,004	0,00154	0,85470
8	0,010	0,18	0,0018	2,64	0,004	0,00152	0,84175
9	0,010	0,18	0,0018	2,68	0,004	0,00149	0,82919
10	0,010	0,18	0,0018	2,62	0,004	0,00153	0,84818
11	0,010	0,18	0,0018	2,61	0,004	0,00153	0,85143
12	0,010	0,18	0,0018	2,67	0,004	0,00150	0,83229
13	0,010	0,18	0,0018	2,68	0,004	0,00149	0,82919
14	0,010	0,18	0,0018	2,64	0,004	0,00152	0,84175
15	0,010	0,18	0,0018	2,60	0,004	0,00154	0,85470
16	0,010	0,18	0,0018	2,53	0,004	0,00158	0,87835
17	0,010	0,18	0,0018	2,60	0,004	0,00154	0,85470
18	0,010	0,18	0,0018	2,64	0,004	0,00152	0,84175
19	0,010	0,18	0,0018	2,68	0,004	0,00149	0,82919
20	0,010	0,18	0,0018	2,62	0,004	0,00153	0,84818
	Standar deviasi						0,01459

4.2 Hasil Pengujian Pengukuran Debit dengan Menggunakan Metode Pelampung

Berdasarkan hasil pengujian dengan metode volumetrik, diperoleh data waktu

tempuh tp (s), data jarak tempuh Lv (m³), tinggi muka air d(m) diperoleh hasil perhitungan kecepatan aliran pada tabel 2

Tabel 2. Data kecepatan aliran dengan metode pelampung

No.	Data dengan Metode Pelampung Kemiringan 0%						
	Kedalaman Aliran d (m)	Lebar Penampang B (m)	Luas Penampang A (m^2)	Waktu Tempuh t (s)	Jarak Tempuh L (m)	Debit $Q_v(m^3/s)$	Kecepatan Aliran v (m/s)
			=B x d			=vxA	= L/t
1	0,015	0,18	0,0027	3,60	2	0,00150	0,55556
2	0,015	0,18	0,0027	3,57	2	0,00151	0,56022
3	0,015	0,18	0,0027	3,50	2	0,00154	0,57143
4	0,015	0,18	0,0027	3,63	2	0,00149	0,55096
5	0,015	0,18	0,0027	3,42	2	0,00158	0,58480
6	0,015	0,18	0,0027	3,62	2	0,00149	0,55249
7	0,015	0,18	0,0027	3,45	2	0,00157	0,57971
8	0,015	0,18	0,0027	3,57	2	0,00151	0,56022
9	0,015	0,18	0,0027	3,50	2	0,00154	0,57143
10	0,015	0,18	0,0027	3,63	2	0,00149	0,55096
11	0,015	0,18	0,0027	3,57	2	0,00151	0,56022
12	0,015	0,18	0,0027	3,42	2	0,00158	0,58480
13	0,015	0,18	0,0027	3,50	2	0,00154	0,57143
14	0,015	0,18	0,0027	3,63	2	0,00149	0,55096
15	0,015	0,18	0,0027	3,57	2	0,00151	0,56022
16	0,015	0,18	0,0027	3,50	2	0,00154	0,57143
17	0,015	0,18	0,0027	3,62	2	0,00149	0,55249
18	0,015	0,18	0,0027	3,45	2	0,00157	0,57971
19	0,015	0,18	0,0027	3,63	2	0,00149	0,55096
20	0,015	0,18	0,0027	3,60	2	0,00150	0,55556
	Standar deviasi						0,01197

No.	Data dengan Metode Pelampung Kemiringan 1%						
	Kedalaman Aliran d (m)	Lebar Penampang B (m)	Luas Penampang A (m ²)	Waktu Tempuh t (s)	Jarak Tempuh L (m)	Debit Q _v (m ³ /s)	Kecepatan Aliran v (m/s)
1	0,012	0,18	0,00216	2,72	2	0,00159	0,73529
2	0,012	0,18	0,00216	2,69	2	0,00161	0,74349
3	0,012	0,18	0,00216	2,68	2	0,00161	0,74627
4	0,012	0,18	0,00216	2,66	2	0,00162	0,75188
5	0,012	0,18	0,00216	2,62	2	0,00165	0,76336
6	0,012	0,18	0,00216	2,70	2	0,00160	0,74074
7	0,012	0,18	0,00216	2,79	2	0,00155	0,71685
8	0,012	0,18	0,00216	2,78	2	0,00155	0,71942
9	0,012	0,18	0,00216	2,65	2	0,00163	0,75472
10	0,012	0,18	0,00216	2,63	2	0,00164	0,76046
11	0,012	0,18	0,00216	2,72	2	0,00159	0,73529
12	0,012	0,18	0,00216	2,68	2	0,00161	0,74627
13	0,012	0,18	0,00216	2,66	2	0,00162	0,75188
14	0,012	0,18	0,00216	2,69	2	0,00161	0,74349
15	0,012	0,18	0,00216	2,62	2	0,00165	0,76336
16	0,012	0,18	0,00216	2,70	2	0,00160	0,74074
17	0,012	0,18	0,00216	2,65	2	0,00163	0,75472
18	0,012	0,18	0,00216	2,63	2	0,00164	0,76046
19	0,012	0,18	0,00216	2,79	2	0,00155	0,71685
20	0,012	0,18	0,00216	2,78	2	0,00155	0,71942
	Standar deviasi						0,01539

No.	Data dengan Metode Pelampung Kemiringan 2%						
	Kedalaman Aliran d (m)	Lebar Penampang B (m)	Luas Penampang A (m ²)	Waktu Tempuh t (s)	Jarak Tempuh L (m)	Debit Q _v (m ³ /s)	Kecepatan Aliran v (m/s)
1	0,011	0,18	0,00198	2,41	2	0,00164	0,82988
2	0,011	0,18	0,00198	2,40	2	0,00165	0,83333
3	0,011	0,18	0,00198	2,37	2	0,00167	0,84388
4	0,011	0,18	0,00198	2,35	2	0,00169	0,85106
5	0,011	0,18	0,00198	2,40	2	0,00165	0,83333
6	0,011	0,18	0,00198	2,31	2	0,00171	0,86580
7	0,011	0,18	0,00198	2,45	2	0,00162	0,81633
8	0,011	0,18	0,00198	2,32	2	0,00171	0,86207
9	0,011	0,18	0,00198	2,37	2	0,00167	0,84388
10	0,011	0,18	0,00198	2,45	2	0,00162	0,81633
11	0,011	0,18	0,00198	2,45	2	0,00162	0,81633
12	0,011	0,18	0,00198	2,32	2	0,00171	0,86207
13	0,011	0,18	0,00198	2,40	2	0,00165	0,83333
14	0,011	0,18	0,00198	2,37	2	0,00167	0,84388
15	0,011	0,18	0,00198	2,37	2	0,00167	0,84388
16	0,011	0,18	0,00198	2,41	2	0,00164	0,82988
17	0,011	0,18	0,00198	2,31	2	0,00171	0,86580
18	0,011	0,18	0,00198	2,45	2	0,00162	0,81633
19	0,011	0,18	0,00198	2,35	2	0,00169	0,85106
20	0,011	0,18	0,00198	2,40	2	0,00165	0,83333
	Standar deviasi						0,01659

No.	Data dengan Metode Pelampung Kemiringan 3%						
	Kedalaman Aliran d (m)	Lebar Penampang B (m)	Luas Penampang A (m ²)	Waktu Tempuh t (s)	Jarak Tempuh L (m)	Debit Q _v (m ³ /s)	Kecepatan Aliran v (m/s)
1	0,010	0,18	0,0018	2,35	2	0,00153	0,85106
2	0,010	0,18	0,0018	2,31	2	0,00156	0,86580
3	0,010	0,18	0,0018	2,32	2	0,00155	0,86207
4	0,010	0,18	0,0018	2,28	2	0,00158	0,87719
5	0,010	0,18	0,0018	2,32	2	0,00155	0,86207
6	0,010	0,18	0,0018	2,34	2	0,00154	0,85470
7	0,010	0,18	0,0018	2,24	2	0,00161	0,89286
8	0,010	0,18	0,0018	2,27	2	0,00159	0,88106
9	0,010	0,18	0,0018	2,37	2	0,00152	0,84388
10	0,010	0,18	0,0018	2,23	2	0,00161	0,89686
11	0,010	0,18	0,0018	2,24	2	0,00161	0,89286
12	0,010	0,18	0,0018	2,31	2	0,00156	0,86580
13	0,010	0,18	0,0018	2,32	2	0,00155	0,86207
14	0,010	0,18	0,0018	2,37	2	0,00152	0,84388
15	0,010	0,18	0,0018	2,28	2	0,00158	0,87719
16	0,010	0,18	0,0018	2,27	2	0,00159	0,88106
17	0,010	0,18	0,0018	2,35	2	0,00153	0,85106
18	0,010	0,18	0,0018	2,32	2	0,00155	0,86207
19	0,010	0,18	0,0018	2,34	2	0,00154	0,85470
20	0,010	0,18	0,0018	2,23	2	0,00161	0,89686
			Standar deviasi				0,01723

4.3 Analisis Karakteristik Saluran dengan Menggunakan Metode Volumetrik dan Pelampung

Berdasarkan data diatas dicari bilangan Froude dengan rumus pada persamaan $Fr = \frac{v}{\sqrt{g.d}}$ sehingga diperoleh bilangan Froude untuk metode volumetrik dan pelampung seperti pada tabel 3 berikut:

Tabel 3. Bilangan Froude dengan Metode Pelampung dan Volumetrik

No.	Angka Froude pada kemiringan 0%			
	Kedalaman Aliran d (m)	Metode Volumetrik	Metode Pelampung	
	Kecepatan Aliran v (m/s)	Bilangan Froude	Kecepatan Aliran v (m/s)	Bilangan Froude
		= v/(√g.d)		= v/(√g.d)
1	0,015	0,58557	1,52650	0,55556
2	0,015	0,56980	1,52650	0,56022
3	0,015	0,58557	1,52650	0,57143
4	0,015	0,56980	1,52650	0,55096
5	0,015	0,58557	1,52650	0,58480
6	0,015	0,58557	1,52650	0,55249
7	0,015	0,56980	1,52650	0,57971
8	0,015	0,56980	1,52650	0,56022
9	0,015	0,57200	1,52650	0,57143
10	0,015	0,57870	1,52650	0,55096
11	0,015	0,58557	1,52650	0,56022
12	0,015	0,56980	1,52650	0,58480
13	0,015	0,57200	1,52650	0,57143
14	0,015	0,56980	1,52650	0,55096
15	0,015	0,58557	1,52650	0,56022
16	0,015	0,58557	1,52650	0,57143
17	0,015	0,58557	1,52650	0,55249
18	0,015	0,56980	1,52650	0,57971
19	0,015	0,56980	1,52650	0,55096
20	0,015	0,57870	1,52650	0,55556

No.	Angka Froude pada kemiringan 1%				
		Metode Volumetrik	Metode Pelampung		
1	0,012	0,71225	2,07591	0,73529	2,14307
2	0,012	0,71225	2,07591	0,74349	2,16697
3	0,012	0,68842	2,00645	0,74627	2,17505
4	0,012	0,68842	2,00645	0,75188	2,19141
5	0,012	0,70146	2,04445	0,76336	2,22486
6	0,012	0,72338	2,10834	0,74074	2,15894
7	0,012	0,70413	2,05223	0,71685	2,08930
8	0,012	0,70681	2,06006	0,71942	2,09681
9	0,012	0,72338	2,10834	0,75472	2,19968
10	0,012	0,71777	2,09200	0,76046	2,21640
11	0,012	0,71225	2,07591	0,73529	2,14307
12	0,012	0,72338	2,10834	0,74627	2,17505
13	0,012	0,71777	2,09200	0,75188	2,19141
14	0,012	0,68842	2,00645	0,74349	2,16697
15	0,012	0,70413	2,05223	0,76336	2,22486
16	0,012	0,71225	2,07591	0,74074	2,15894
17	0,012	0,70146	2,04445	0,75472	2,19968
18	0,012	0,72338	2,10834	0,76046	2,21640
19	0,012	0,68842	2,00645	0,71685	2,08930
20	0,012	0,70681	2,06006	0,71942	2,09681
No.	Angka Froude pada kemiringan 2%				
		Metode Volumetrik	Metode Pelampung		
1	0,011	0,77700	2,36532	0,82988	2,52628
2	0,011	0,79850	2,43077	0,83333	2,53681
3	0,011	0,76234	2,32070	0,84388	2,56892
4	0,011	0,75100	2,28619	0,85106	2,59078
5	0,011	0,76523	2,32949	0,83333	2,53681
6	0,011	0,75381	2,29472	0,86580	2,63565
7	0,011	0,77107	2,34727	0,81633	2,48504
8	0,011	0,76234	2,32070	0,86207	2,62429
9	0,011	0,77107	2,34727	0,84388	2,56892
10	0,011	0,77700	2,36532	0,81633	2,48504
11	0,011	0,77700	2,36532	0,81633	2,48504
12	0,011	0,76234	2,32070	0,86207	2,62429
13	0,011	0,75100	2,28619	0,83333	2,53681
14	0,011	0,76523	2,32949	0,84388	2,56892
15	0,011	0,75381	2,29472	0,84388	2,56892
16	0,011	0,77107	2,34727	0,82988	2,52628
17	0,011	0,76234	2,32070	0,86580	2,63565
18	0,011	0,77700	2,36532	0,81633	2,48504
19	0,011	0,79850	2,43077	0,85106	2,59078
20	0,011	0,77107	2,34727	0,83333	2,53681

No.	Angka Froude pada kemiringan 3%				
		Metode Volumetrik		Metode Pelampung	
1	0,010	0,85143	2,71839	0,85106	2,71724
2	0,010	0,84175	2,68750	0,86580	2,76429
3	0,010	0,82919	2,64739	0,86207	2,75237
4	0,010	0,83229	2,65731	0,87719	2,80066
5	0,010	0,85470	2,72885	0,86207	2,75237
6	0,010	0,87835	2,80435	0,85470	2,72885
7	0,010	0,85470	2,72885	0,89286	2,85067
8	0,010	0,84175	2,68750	0,88106	2,81300
9	0,010	0,82919	2,64739	0,84388	2,69431
10	0,010	0,84818	2,70802	0,89686	2,86346
11	0,010	0,85143	2,71839	0,89286	2,85067
12	0,010	0,83229	2,65731	0,86580	2,76429
13	0,010	0,82919	2,64739	0,86207	2,75237
14	0,010	0,84175	2,68750	0,84388	2,69431
15	0,010	0,85470	2,72885	0,87719	2,80066
16	0,010	0,87835	2,80435	0,88106	2,81300
17	0,010	0,85470	2,72885	0,85106	2,71724
18	0,010	0,84175	2,68750	0,86207	2,75237
19	0,010	0,82919	2,64739	0,85470	2,72885
20	0,010	0,84818	2,70802	0,89686	2,86346

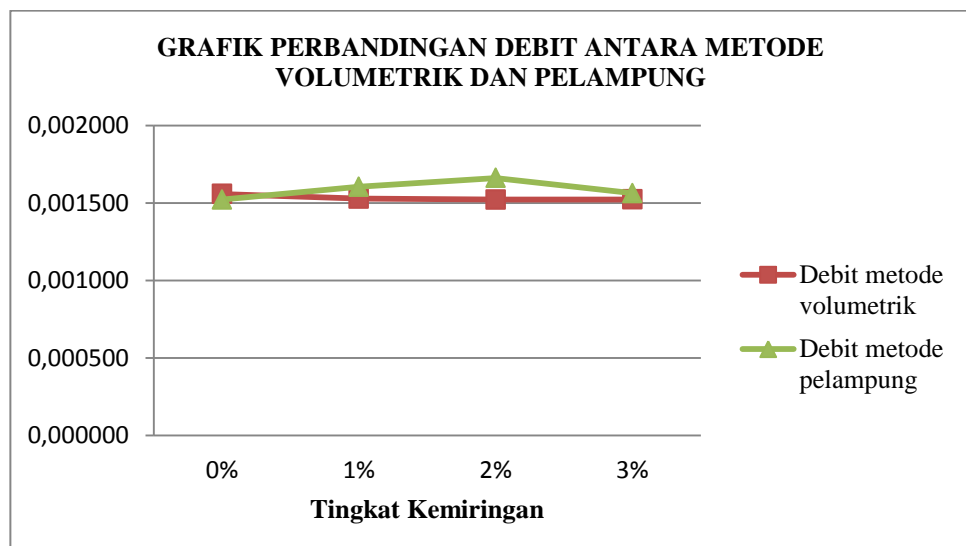
4.4 Bahasan

Berdasarkan hasil pengolahan data tersebut dapat dibuat rata-rata data seperti

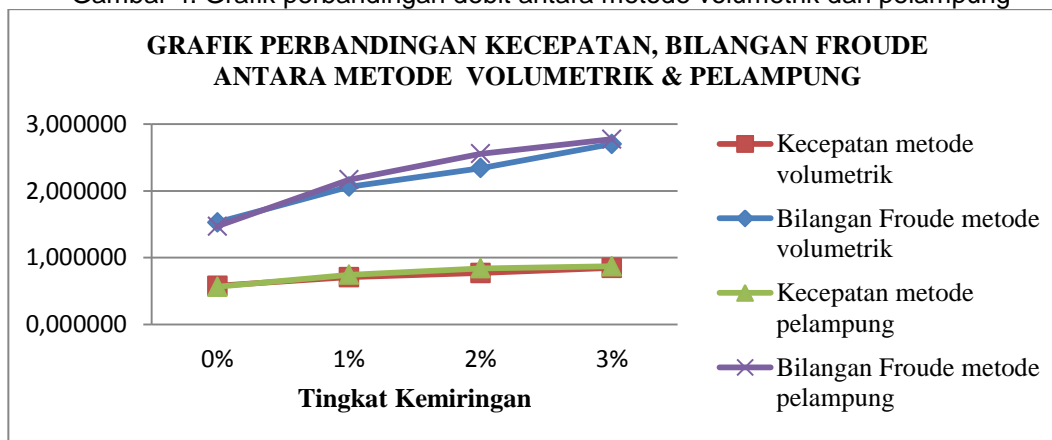
pada tabel 4 dan perbandingan data pada grafik seperti pada gambar 4 dan gambar 5 berikut:

Tabel 3. Data rata-rata

RATA-RATA DATA DENGAN METODE VOLUMETRIK			
Tingkat kemiringan	Debit $Q_v(m^3/s)$	Kecepatan Aliran $v(m/s)$	Bilangan Froude
	$=V/t$	$=Qv/A$	$=v/(\sqrt{g.d})$
0%	0,001558	0,577217	1,526496
1%	0,001529	0,707827	2,063014
2%	0,001522	0,768936	2,340773
3%	0,001523	0,846152	2,701556
RATA-RATA DATA DENGAN METODE PELAMPUNG			
Tingkat kemiringan	Debit $Q_v(m^3/s)$	Kecepatan Aliran $v(m/s)$	Bilangan Froude
	$=V/t$	$=Qv/A$	$=v/(\sqrt{g.d})$
0%	0,001522	0,563778	1,469698
1%	0,001605	0,743248	2,166250
2%	0,001662	0,839589	2,555854
3%	0,001564	0,868755	2,773722



Gambar 4. Grafik perbandingan debit antara metode volumetrik dan pelampung



Gambar 5. Perbandingan kecepatan, bilangan Froude antara metode volumetrik dan pelampung

Berdasarkan grafik perbandingan debit pada gambar 4, diketahui bahwa pada setiap kemiringan baik dengan menggunakan metode pelampung maupun metode volumetrik, rata-rata debit yang didapatkan adalah sama. Sedangkan kecepatan aliran pada setiap tingkat kemiringan mengalami kenaikan.

Bilangan Froude yang didapatkan untuk setiap tingkat kemiringan lebih dari 1 ($Fr > 1$) dan setiap kenaikan tingkat kemiringan selalu mengalami kenaikan.

5. KESIMPULAN

Berdasarkan hasil pengujian dan pengolahan data dapat disimpulkan karakteristik aliran sebagai berikut:

1. Debit aliran yang melalui saluran *flume* tidak terpengaruh oleh tingkat kemiringan.
2. Kecepatan aliran yang melalui saluran *flume* sebanding dengan dengan tingkat

kemiringan. Semakin besar kemiringan maka aliran semakin besar.

3. Bilangan Froude yang didapatkan sebanding dengan tingkat kemiringan.
4. Bilangan Froude lebih dari 1 ($Fr > 1$) sehingga aliran yang melalui flume termasuk aliran super kritis.

DAFTAR PUSTAKA

- Murdan, Drs., M.Si., 2010. Statistik Pendidikan dan Aplikasinya, Global Pustaka Utama, Yogyakarta.
 Suryana, Prof., DR., MSi., Metodologi Penelitian Model Praktis Penelitian Kuantitatif dan Kualitatif. Jakarta. Universitas Pendidikan Indonesia.
<http://web.ipb.ac.id/~erizal/mekflud/aliran%20sal%20terbuka.pdf>